

正常畜体学图譜

(试用版)

华中农学院《正常畜体学图譜》繪编小组编

一九七二年六月

目 录

| | | |
|--------|------------------|--------|
| 图 1—1 | 水牛体表部位名称 | (1) |
| 图 1—2 | 畜体解剖方位术语 | (1) |
| 图 1—3 | 水牛内脏器官位置(左侧观) | (2) |
| 图 1—4 | 水牛内脏器官位置(右侧观) | (2) |
| 图 1—5 | (母)马的内脏器官位置(左侧观) | (3) |
| 图 1—6 | (公)马的内脏器官位置(右侧观) | (3) |
| 图 1—7 | (公)猪的内脏器官位置(左侧观) | (4) |
| 图 1—8 | (母)猪的内脏器官位置(右侧观) | (4) |
| 图 2—1 | 显微镜的结构及其放大原理 | (5) |
| 图 2—2 | 细胞的各种形态 | (5) |
| 图 2—3 | 动物细胞结构模式图 | (6) |
| 图 2—4 | 线粒体(鸡胚的肠上皮) | (6) |
| 图 2—5 | 内网器(银浸法) | (6) |
| 图 2—6 | 中心体 | (7) |
| 图 2—7 | 细胞的直接分裂模式图 | (7) |
| 图 2—8 | 细胞的有丝分裂模式图 | (7) |
| 图 2—9 | 单层上皮组织 | (8) |
| 图 2—10 | 复层扁平上皮 | (8) |
| 图 2—11 | 假复层柱状纤毛上皮 | (8) |
| 图 2—12 | 收缩状态的移行上皮(膀胱) | (9) |
| 图 2—13 | 扩张状态的移行上皮(膀胱) | (9) |
| 图 2—14 | 腺的分类 | (9) |
| 图 2—15 | 腺的发生过程 | (9) |
| 图 2—16 | 疏松结缔组织 | (10) |
| 图 2—17 | 网状组织 | (10) |
| 图 2—18 | 脂肪组织 | (10) |
| 图 2—19 | 致密结缔组织(真皮横切面) | (11) |
| 图 2—20 | 透明软骨(低倍镜观) | (11) |
| 图 2—21 | 硬骨组织(骨磨片) | (11) |
| 图 2—22 | 平滑肌 | (12) |
| 图 2—23 | 骨骼肌 | (12) |
| 图 2—24 | 骨骼肌纤维立体观 | (12) |
| 图 2—25 | 心肌 | (12) |
| 图 2—26 | 心肌纤维的立体观 | (12) |
| 图 2—27 | 神经原的机能分 | (13) |
| 图 2—28 | 神经原的形态分类 | (13) |
| 图 2—29 | 神经原的构造 | (13) |
| 图 2—30 | 神经细胞(示尼氏体) | (14) |
| 图 2—31 | 神经纤维 | (14) |
| 图 2—32 | 痛觉感受器(游离神经末梢) | (14) |
| 图 2—33 | 压觉感受器(环层小体) | (14) |
| 图 2—34 | 运动终板 | (15) |

| | | |
|---------|---------------------|---------|
| 图 2—3 5 | 神经原之间的联系 | (1 5) |
| 图 2—3 6 | 神经胶质细胞 | (1 5) |
| 图 3—1 | 水牛的全身骨骼 | (1 6) |
| 图 3—2 | 猪的全身骨骼 | (1 7) |
| 图 3—3 | 马的全身骨骼 | (1 7) |
| 图 3—4 | 骨的解剖结构 | (1 8) |
| 图 3—5 | 骨连接的一般结构 | (1 8) |
| 图 3—6 | 水牛的寰椎 | (1 8) |
| 图 3—7 | 水牛的枢椎 | (1 8) |
| 图 3—8 | 水牛的第六颈椎 | (1 8) |
| 图 3—9 | 水牛的第七颈椎 | (1 8) |
| 图 3—10 | 水牛的肋骨和胸椎 | (1 9) |
| 图 3—11 | 水牛的腰椎(甲、前面观，乙、后面观) | (1 9) |
| 图 3—12 | 水牛的荐骨(甲、侧面观 乙、腹面观) | (2 0) |
| 图 3—13 | 水牛的头部骨骼背面观 | (2 0) |
| 图 3—14 | 水牛的头部骨骼侧面观 | (2 1) |
| 图 3—15 | 马的头部骨骼侧面观 | (2 1) |
| 图 3—16 | 水牛的前肢骨骼外侧面 | (2 2) |
| 图 3—17 | 水牛的前肢骨骼内侧面 | (2 2) |
| 图 3—18 | 水牛骨盆的侧面观 | (2 3) |
| 图 3—19 | 家畜前脚骨骼的比较 | (2 3) |
| 图 3—20 | 水牛的后肢骨骼内侧面 | (2 4) |
| 图 3—21 | 水牛的后肢骨骼外侧面 | (2 4) |
| 图 3—22 | 马的骨盆的侧面观 | (2 5) |
| 图 3—23 | 马的骨盆的背侧面观 | (2 5) |
| 图 3—24 | 水牛的全身表层肌肉(示皮肌) | (2 6) |
| 图 3—25 | 水牛的全身浅层肌肉 | (2 6) |
| 图 3—26 | 水牛的全身浅层肌肉前面观 | (2 7) |
| 图 3—27 | 水牛的全身浅层肌肉后面观 | (2 7) |
| 图 3—28 | 水牛的肩带外侧肌肉 | (2 8) |
| 图 3—29 | 水牛的胸腹部中层肌肉(示肩带深层肌肉) | (2 8) |
| 图 3—30 | 水牛的胸腹部深层肌肉 | (2 8) |
| 图 3—31 | 水牛的前肢外侧肌肉 | (2 9) |
| 图 3—32 | 水牛的前肢内侧肌肉 | (2 9) |
| 图 3—33 | 牛腕部(前面)的滑液囊和腱鞘 | (3 0) |
| 图 3—34 | 牛腕部(后面)的滑液囊和腱鞘 | (3 0) |
| 图 3—35 | 牛掌指部(前面)的滑液囊和腱鞘 | (3 0) |
| 图 3—36 | 牛掌指部(后面)的滑液囊和腱鞘 | (3 0) |
| 图 3—37 | 水牛的后肢内侧肌肉 | (3 1) |
| 图 3—38 | 水牛的后肢外侧肌肉 | (3 1) |
| 图 3—39 | 水牛股部内侧浅层肌肉 | (3 2) |
| 图 3—40 | 水牛股部内侧中层肌肉 | (3 2) |
| 图 3—41 | 水牛股部内侧深层肌肉 | (3 2) |
| 图 3—42 | 牛跗部(内侧)的滑液囊和腱鞘 | (3 2) |
| 图 3—43 | 牛跗部(外侧)的滑液囊和腱鞘 | (3 3) |
| 图 3—44 | 水牛头部表层肌肉 | (3 3) |
| 图 3—45 | 水牛头部中层肌肉 | (3 3) |

| | | |
|-------|-------------------------|--------|
| 图4—1 | 反射弧的组成部份 | (34) |
| 图4—2 | 脊髓及其神经 | (34) |
| 图4—3 | 脊髓横断面 | (34) |
| 图4—4 | 脑的侧面 | (35) |
| 图4—5 | 脑的底面 | (35) |
| 图4—6 | 脑的正中矢切面 | (36) |
| 图4—7 | 脑的额切面 | (36) |
| 图4—8 | 牛前肢的神经分布模式图 | (37) |
| 图4—9 | 牛后肢的神经分布 | (37) |
| 图4—10 | 牛头部浅层的神经分布 | (38) |
| 图4—11 | 植物性神经由脊髓分出的模式图 | (38) |
| 图4—12 | 植物性神经分布示意图 | (39) |
| 图5—1 | 水牛的血细胞 | (见彩色图) |
| 图5—2 | 猪的血细胞 | (见彩色图) |
| 图5—3 | 马的血细胞 | (见彩色图) |
| 图5—4 | 牛心脏的剖面(左侧面) | (41) |
| 图5—5 | 牛心脏的剖面(右侧面) | (41) |
| 图5—6 | 心脏通路模式图 | (42) |
| 图5—7 | 心脏的传导系模式图 | (42) |
| 图5—8 | 静脉瓣的分布 | (42) |
| 图5—9 | 中等动、静脉管壁的组织结构(模式图) | (43) |
| 图5—10 | 毛细血管、小动脉、小静脉、小淋巴管横断面的比较 | (43) |
| 图5—11 | 水牛全身动、静脉分布半膜式图 | (44) |
| 图5—12 | 牛的腹腔动脉分支示意图 | (45) |
| 图5—13 | 牛的肠系膜前动脉分支示意图 | (45) |
| 图5—14 | 马的腹腔动脉分支示意图 | (46) |
| 图5—15 | 马的肠系膜前、后动脉分支示意图 | (46) |
| 图5—16 | 猪的肠系膜前动脉分支示意图 | (47) |
| 图5—17 | 组织液及淋巴的生成示意图 | (47) |
| 图5—18 | 淋巴结的结构模式图 | (47) |
| 图5—19 | 水牛的淋巴结皮质部组织结构(低倍镜观) | (48) |
| 图5—20 | 水牛的淋巴结髓质部组织结构(高倍镜观) | (48) |
| 图5—21 | 水牛体表浅层淋巴结的分布 | (49) |
| 图5—22 | 脾脏红髓的组织结构(高倍镜观) | (49) |
| 图6—1 | 牛头的正中矢状切面 | (50) |
| 图6—2 | 马头的正中矢状切面 | (50) |
| 图6—3 | 喉及气管的侧面观 | (51) |
| 图6—4 | 牛肺分叶及其支气管树 | (51) |
| 图6—5 | 猪肺的分叶 | (51) |
| 图6—6 | 马肺的分叶 | (51) |
| 图6—7 | 支气管、肺泡构造的模式图 | (52) |
| 图6—8 | 肺组织切片(高倍镜观) | (52) |
| 图6—9 | 肺和组织气体交换模式图 | (53) |
| 图6—10 | 呼吸运动的调节模式图 | (53) |
| 图7—1 | 牛的消化器官模式图 | (54) |
| 图7—2 | 消化管的一般组织结构 | (54) |
| 图7—3 | 颌下腺的组织结构(高倍镜观) | (55) |

| | | |
|--------|---------------------------|------|
| 图 7—4 | 牛的胃 | (55) |
| 图 7—5 | 马胃及十二指肠的粘膜结构 | (56) |
| 图 7—6 | 胃底腺的结构 | (56) |
| 图 7—7 | (母) 马腹腔及骨盆腔内脏器官的位置关系(左侧观) | (57) |
| 图 7—8 | (公) 马腹腔及骨盆腔内脏器官的位置关系(右侧观) | (58) |
| 图 7—9 | 马腹腔及骨盆腔内脏器官的位置关系(背侧观) | (59) |
| 图 7—10 | 马腹腔底壁切开后显示内脏器官的位置关系 | (60) |
| 图 7—11 | 马的胃、肝、胰、脾、肾的位置关系(腹侧观) | (60) |
| 图 7—12 | 小肠的组织结构模式图 | (61) |
| 图 7—13 | 肝小叶构造模式图 | (61) |
| 图 7—14 | 肝小叶切面 | (62) |
| 图 7—15 | 肝小叶中央静脉腔及细胞索切片(高倍镜观) | (62) |
| 图 7—16 | 肝窦内的星状细胞 | (62) |
| 图 7—17 | 肝循环模式图 | (63) |
| 图 7—18 | 肝的汇管区 | (63) |
| 图 7—19 | 胰切片 | (64) |
| 图 7—20 | 牛的结肠 | (64) |
| 图 7—21 | 猪的结肠 | (64) |
| 图 7—22 | 马的大结肠通路示意图 | (65) |
| 图 7—23 | 马的盲肠底附近器官位置关系 | (65) |
| 图 8—1 | 马泌尿器官在腹腔及骨盆腔内的位置关系(腹侧观) | (66) |
| 图 8—2 | 水牛肾脏的水平切面 | (67) |
| 图 8—3 | 猪肾脏的水平切面 | (67) |
| 图 8—4 | 马肾脏的水平切面 | (67) |
| 图 8—5 | 肾单位的结构 | (68) |
| 图 8—6 | 肾皮质部切片(高倍镜观) | (69) |
| 图 8—7 | 肾小体的结构 | (69) |
| 图 8—8 | 肾小体滤过作用的压力关系 | (70) |
| 图 8—9 | 公马骨盆腔内泌尿生殖器官的位置关系(背侧观) | (70) |
| 图 8—10 | 公马骨盆腔内泌尿生殖器官的位置关系(腹侧观) | (71) |
| 图 8—11 | 膀胱及尿生殖道的纵剖面 | (71) |
| 图 8—12 | 母马泌尿生殖器官位置关系 | (72) |
| 图 9—1 | 公牛的生殖器官 | (73) |
| 图 9—2 | 睾丸构造模式图 | (73) |
| 图 9—3 | 睾丸及附睾切面模式图 | (73) |
| 图 9—4 | 睾丸及附睾的组织结构(低倍镜观) | (74) |
| 图 9—5 | 曲细精管及间质细胞(高倍镜观) | (74) |
| 图 9—6 | 精子构造模式图 | (74) |
| 图 9—7 | 卵巢的组织结构(低倍镜观) | (75) |
| 图 9—8 | 卵细胞的构造 | (76) |
| 图 9—9 | 母马的生殖器官(背侧) | (76) |
| 图 9—10 | 妊娠母牛的子宫绒毛叶阜 | (77) |
| 图 9—11 | 母牛的生殖器官(背侧) | (77) |
| 图 9—12 | 母猪的生殖器官(背侧) | (77) |
| 图 9—13 | 哺乳类的卵受精过程 | (78) |
| 图 9—14 | 受精卵的分裂 | (78) |
| 图 10—1 | 皮肤和毛的组织结构 | (79) |
| 图 10—2 | 牛乳房的结构(切面图) | (79) |
| 图 10—3 | 马蹄的真蹄部 | (80) |
| 图 10—4 | 马蹄的蹄底部 | (80) |

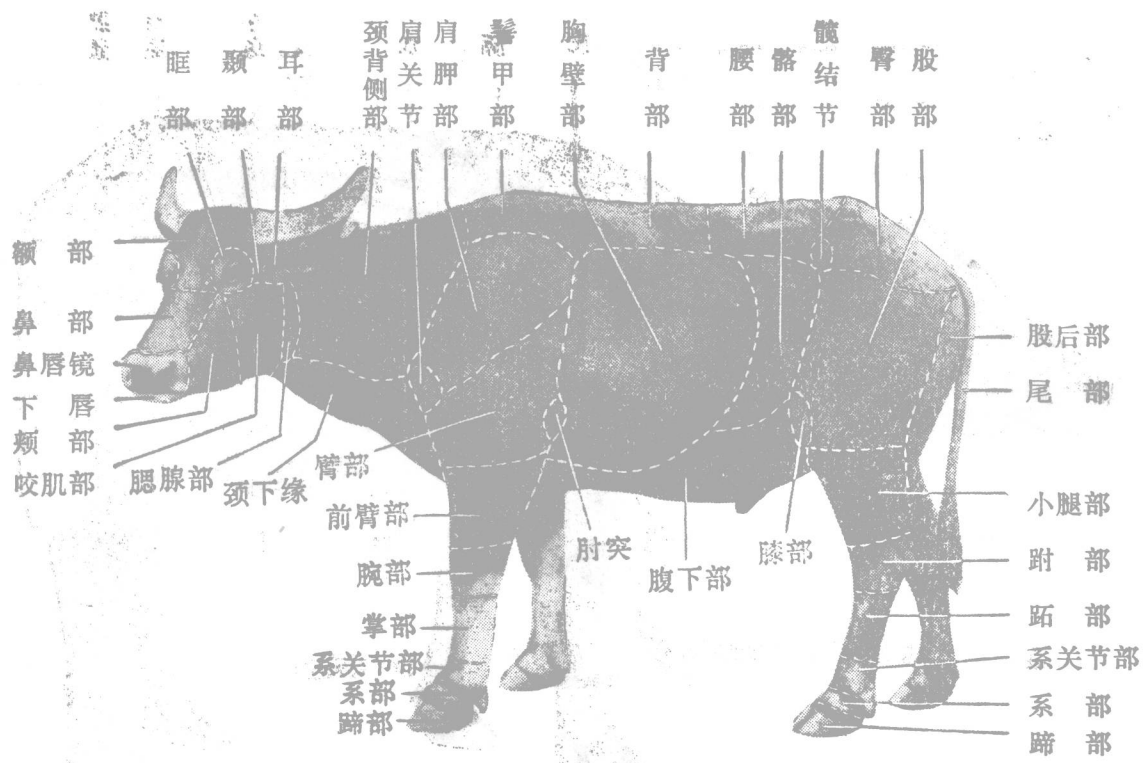


图1—1 水牛体表部位名称

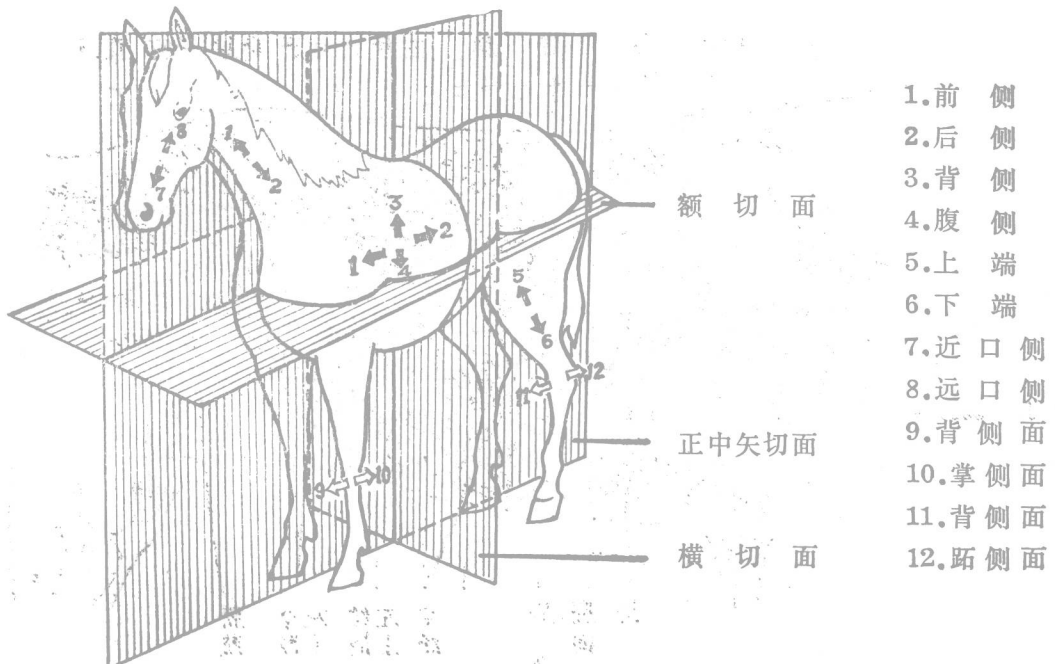


图1—2 畜体解剖方位术语

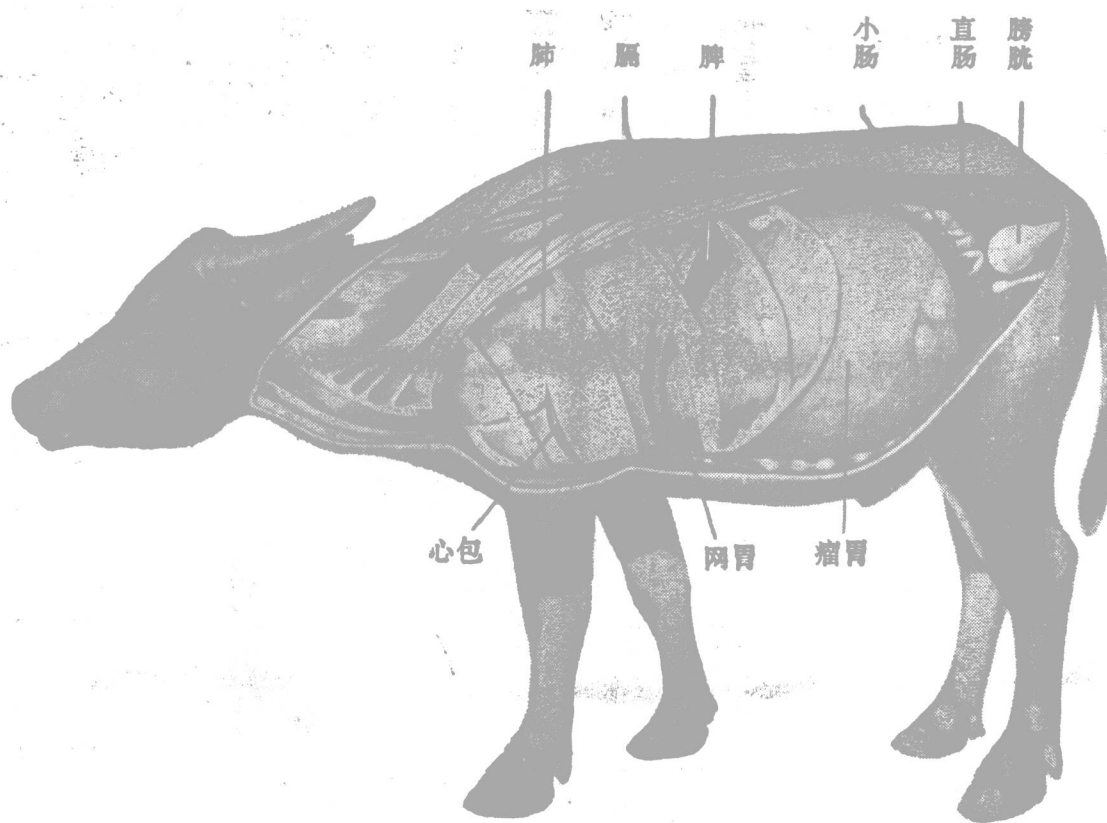


图 1—3 水牛内脏器官位置(左侧观)

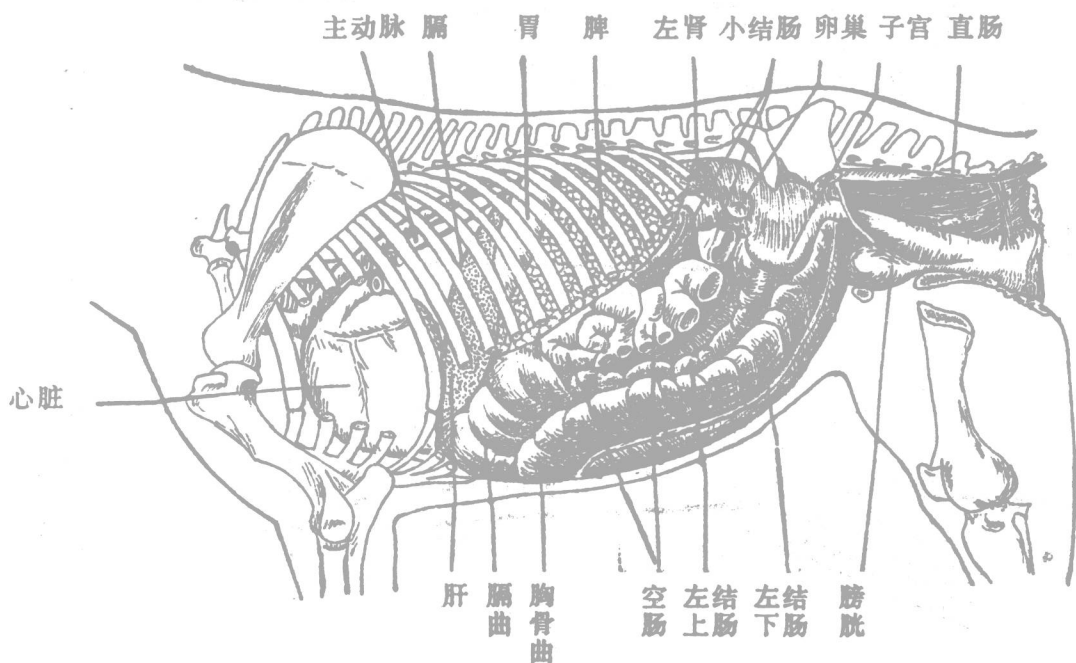


图 1—5 (母) 马的内脏器官位置(左侧观)

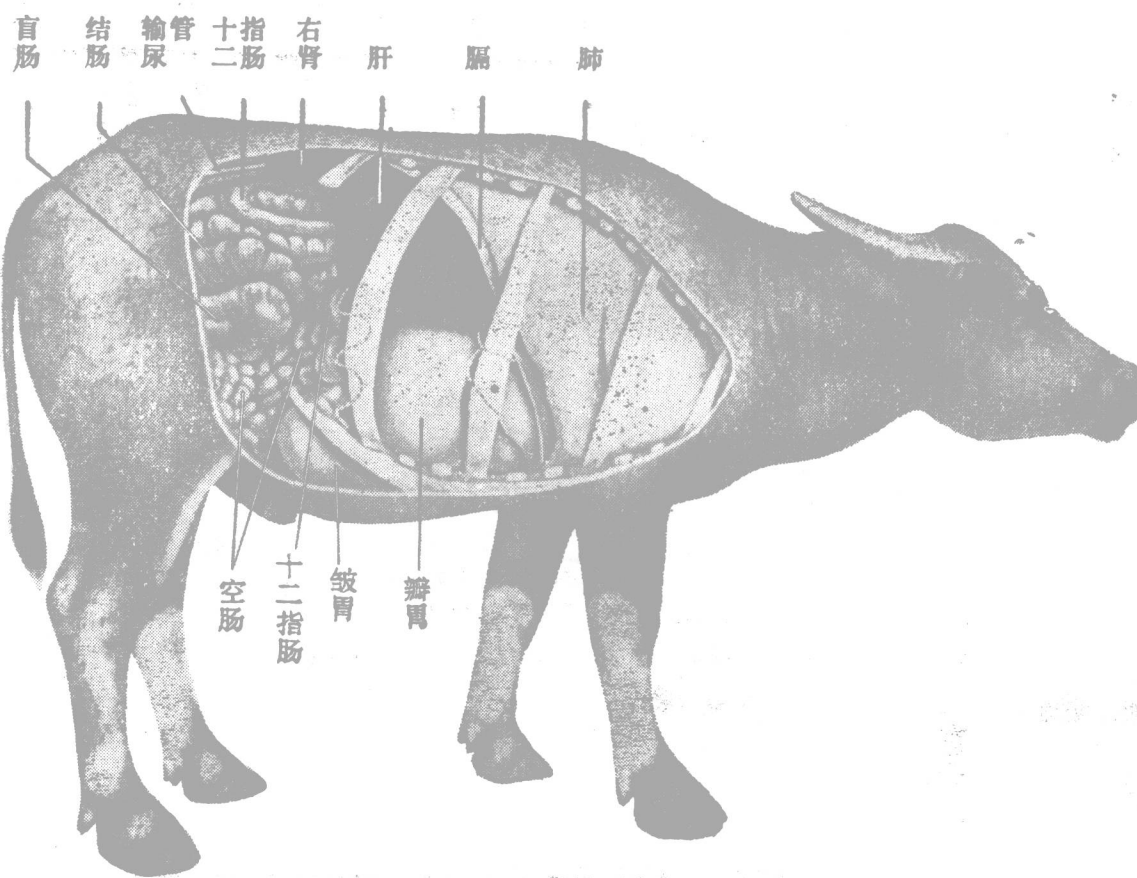


图 1—4 水牛内脏器官位置(右侧观)

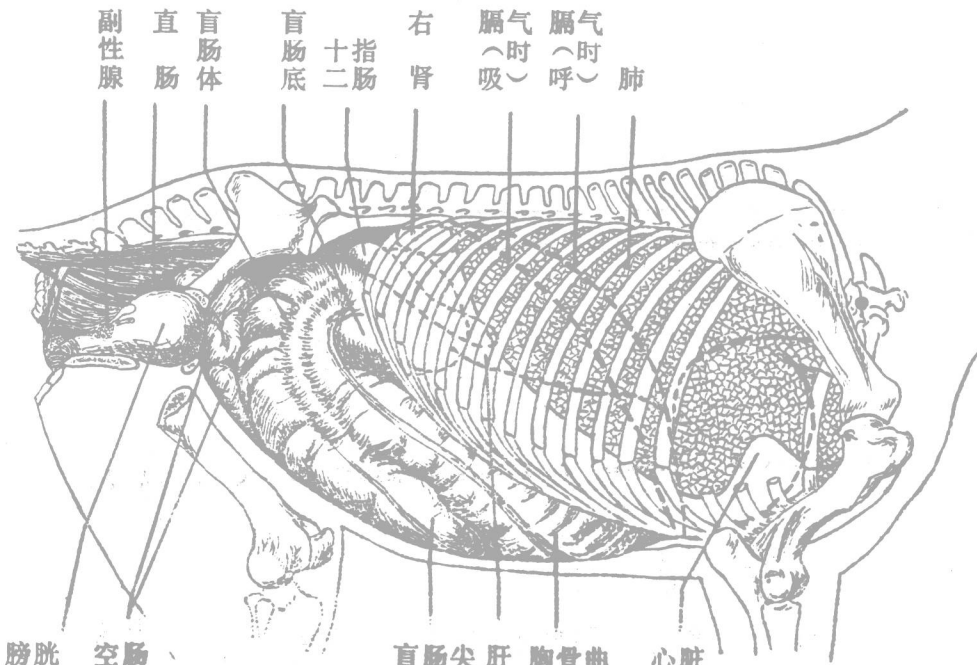


图 1—6 (公) 马的内脏器官位置(右侧观)

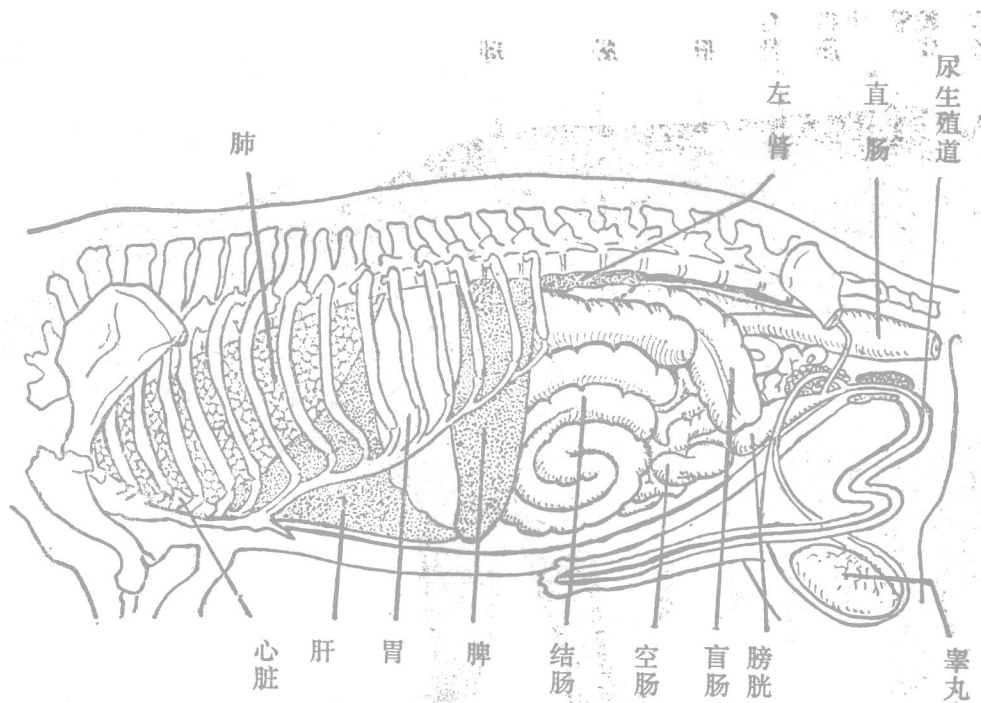


图 1—7 (公)猪的内脏器官位置(左侧观)

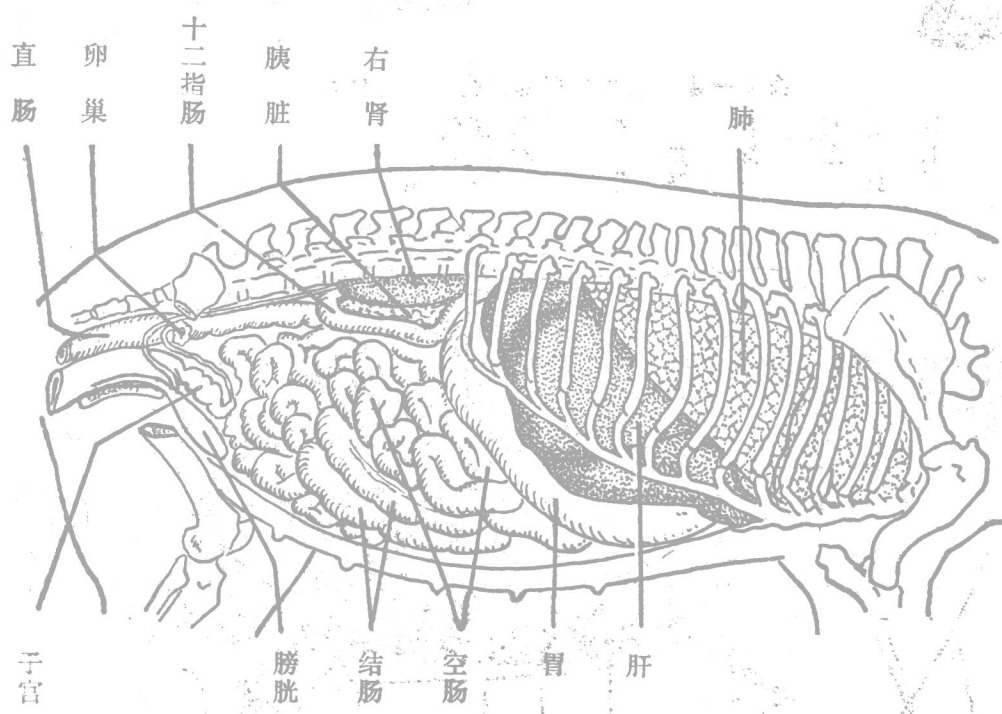


图 1—8 (母)猪的内脏器官位置(右侧观)

图 2—1 显微镜的结构及
其放大原理

1. 反光镜
2. 载物台
3. 压片夹
4. 接物镜
5. 镜筒
6. 接目镜
7. 大调节螺旋
8. 镜臂
9. 镜座
10. 小调节螺旋
11. 物镜转换器
12. 集光器

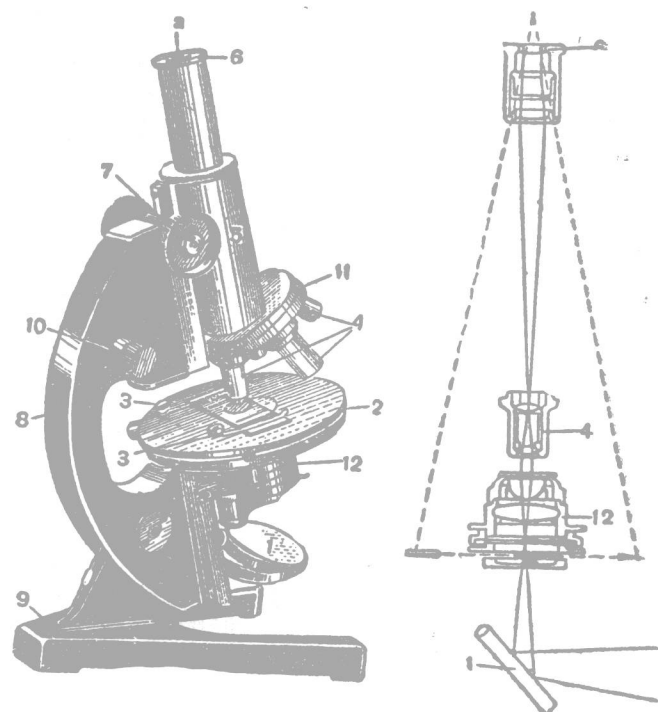
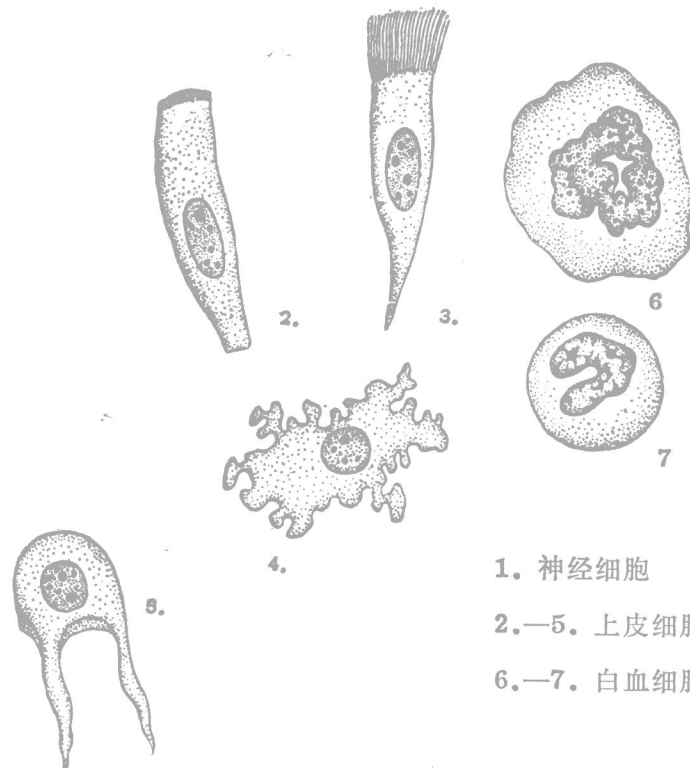


图 2—2 细胞的各种形态



1. 神经细胞
- 2.—5. 上皮细胞
- 6.—7. 白血细胞

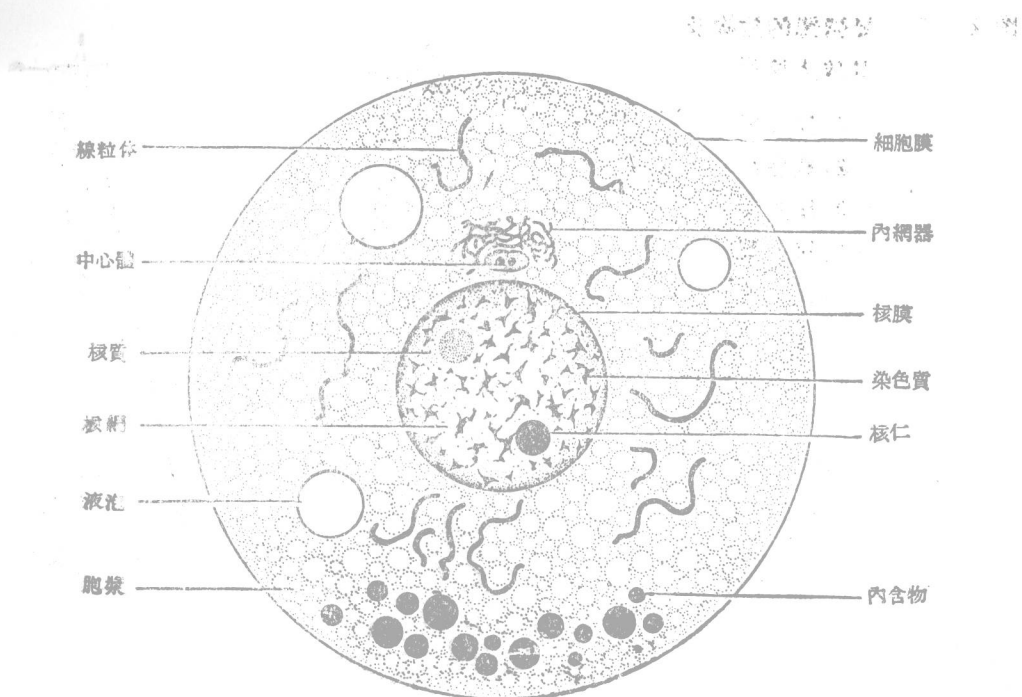


图 2—3 动物细胞结构模式图

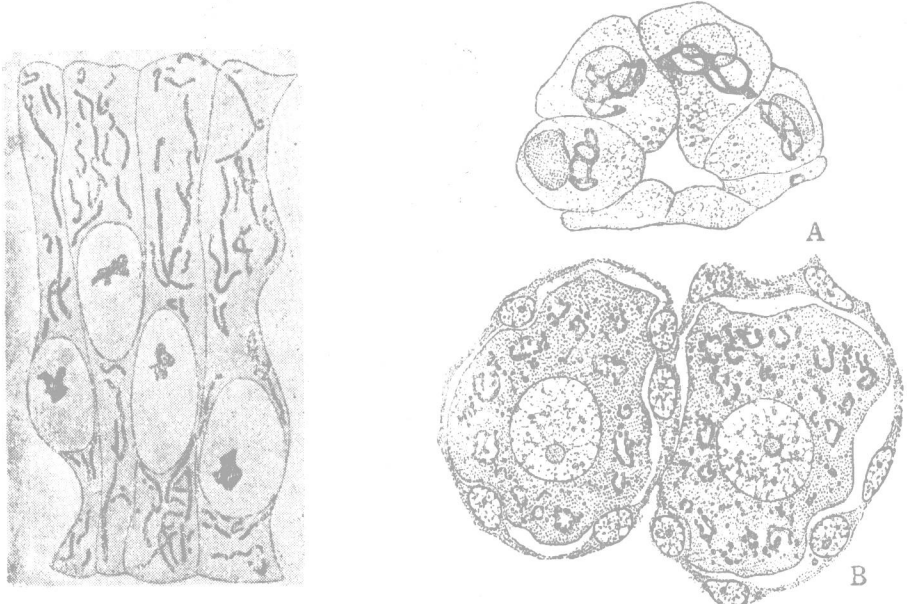


图 2—4 线粒体(鸡胚的肠上皮)

图 2—5 内网器(银浸法)

A. 唾液腺细胞

B. 脊神经节细胞

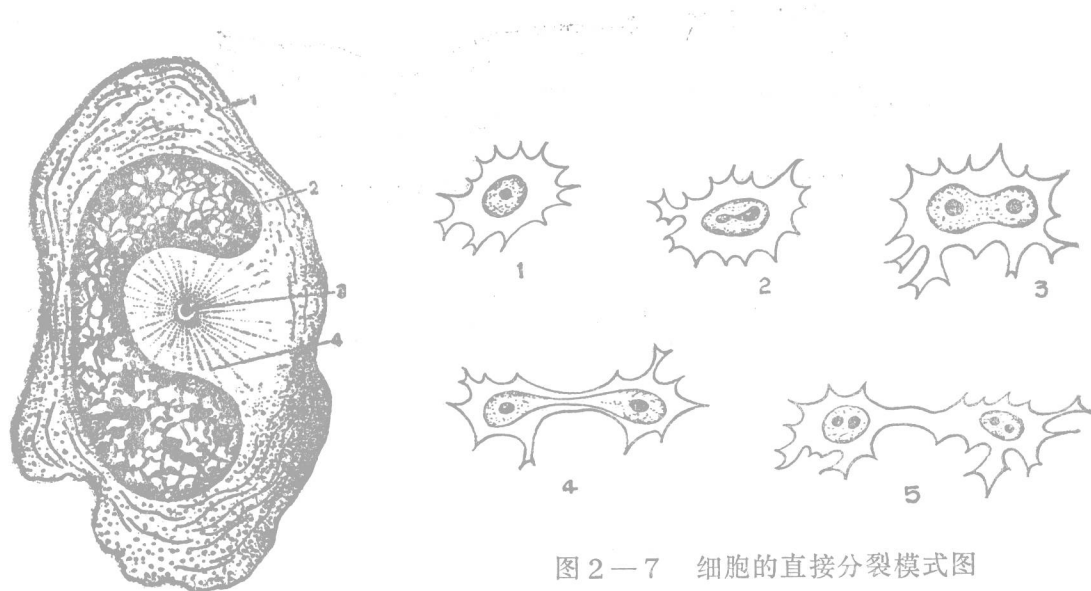


图 2—7 细胞的直接分裂模式图

图 2—6 中心体

1. 细胞质
2. 细胞核
3. 中心粒
4. 星芒体

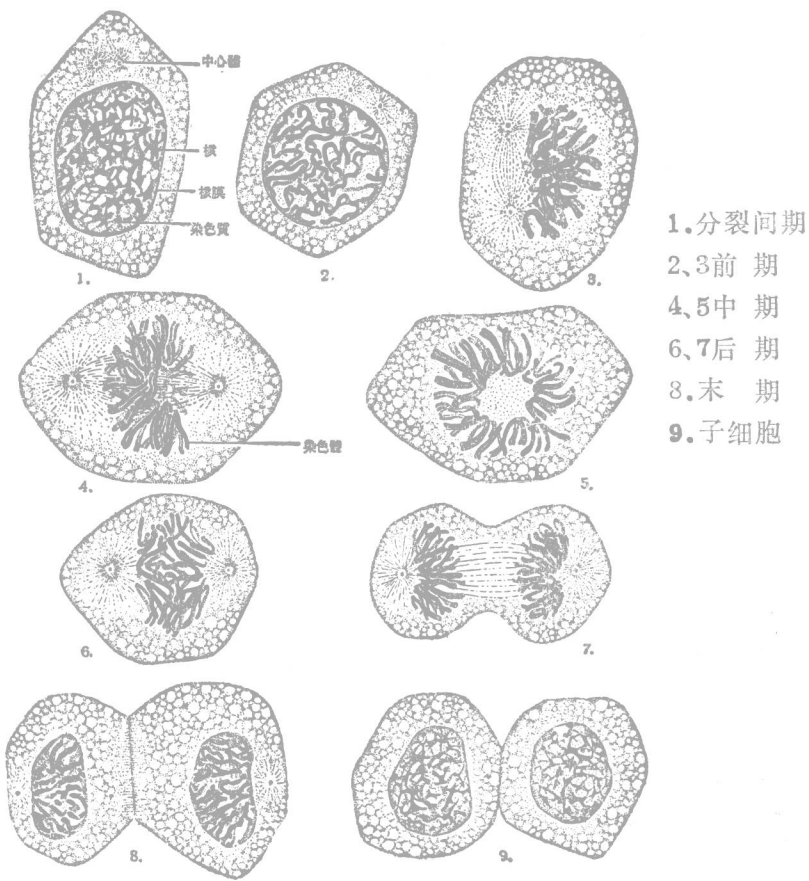
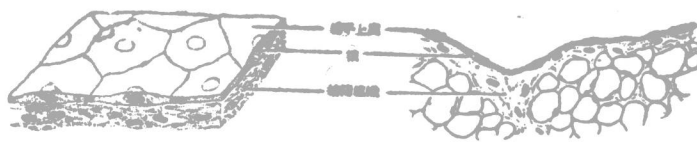


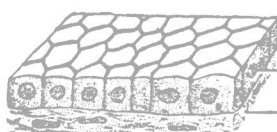
图 2—8 细胞的有丝分裂模式图

图 2—9 上皮组织

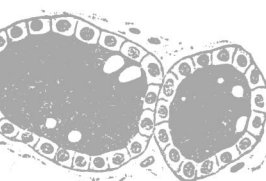


1. 单层扁平上皮

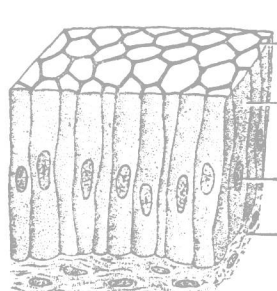
2. 单层扁平上皮切面图(放大)



3. 单层立方上皮



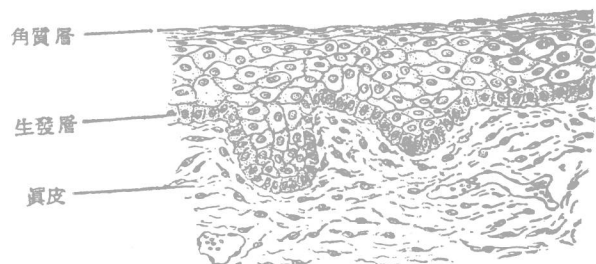
4. 单层立方上皮切面图(甲状腺)



5. 单层柱状上皮



6. 单层柱状上皮切面图(肠)



角质层

生发层

真皮



图 2—10 复层扁平上皮

图 2—11 假复层柱状纤毛上皮

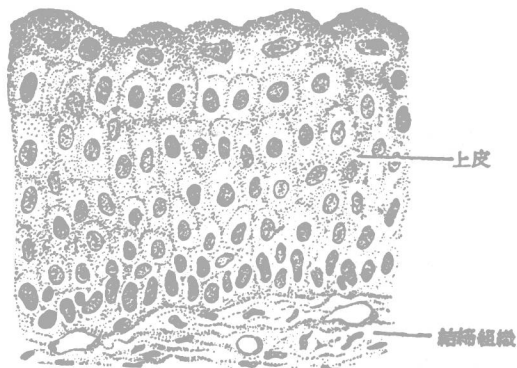


图 2—12 收缩状态的移行上皮(膀胱)



图 2—13 扩张状态的移行上皮(膀胱)

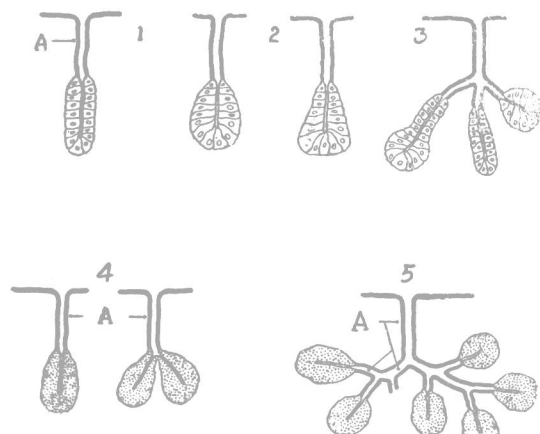


图 2—14 腺的分类

A. 导管

上排, 以末房分类: 1. 管状腺2. 泡状腺(左右两个)3. 管泡状腺。

下排以导管分类: 4. 单腺5. 复腺

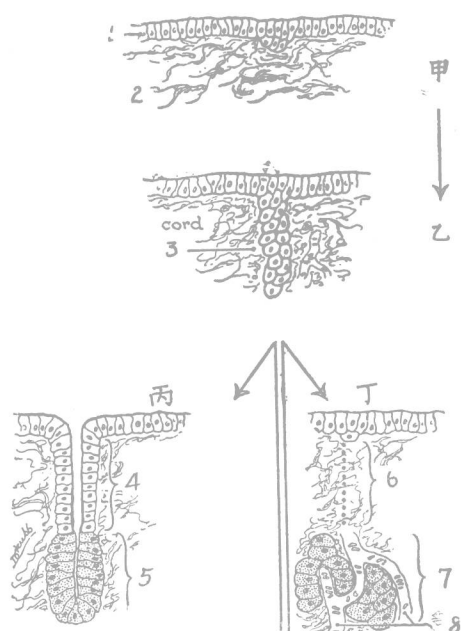


图 2—15 腺的发生过程

- 1. 上皮 2. 结缔组织 3. 上皮细胞索
- 甲—乙, 上皮细胞分裂下陷, 丙, 外分泌腺
- 4. 导管 5. 末房 丁, 内分泌腺 6. 导管消失 7. 末房 8. 毛细血管

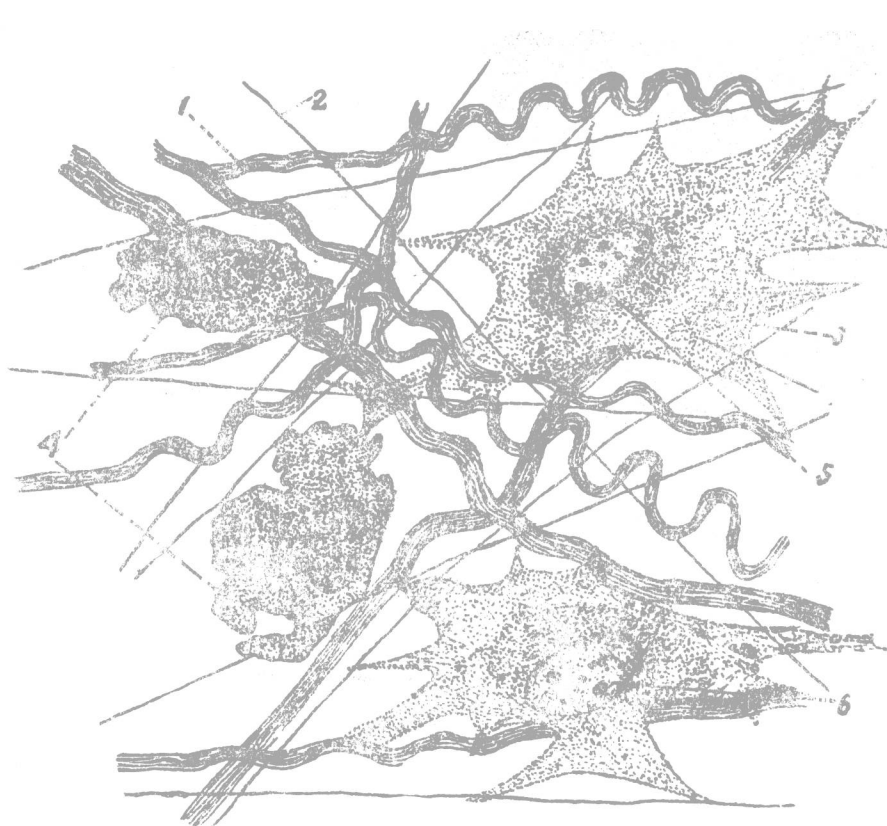


图2—16 疏松结缔组织

1.胶原纤维束 2.弹性纤维 3.成纤维细胞 4.组织细胞 5、6成纤维细胞核

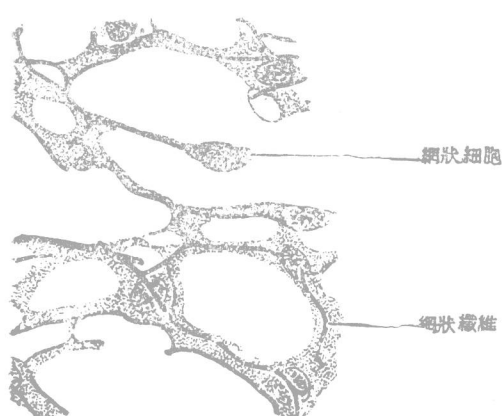


图2—17 纲状组织

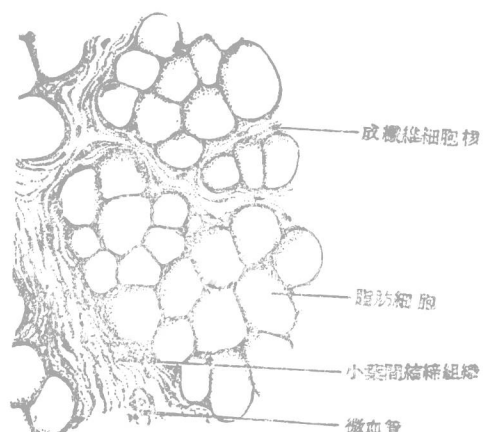


图2—18 脂肪组织

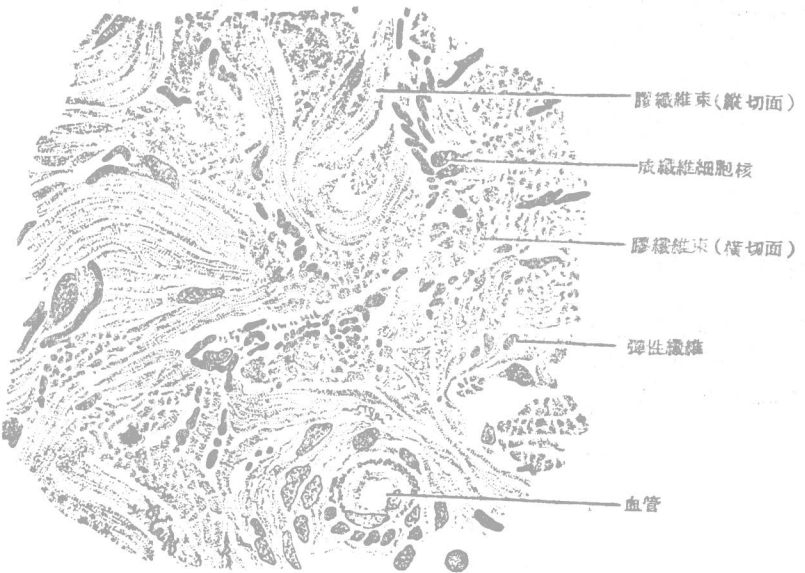


图 2—19 致密结缔组织(真皮横切面)

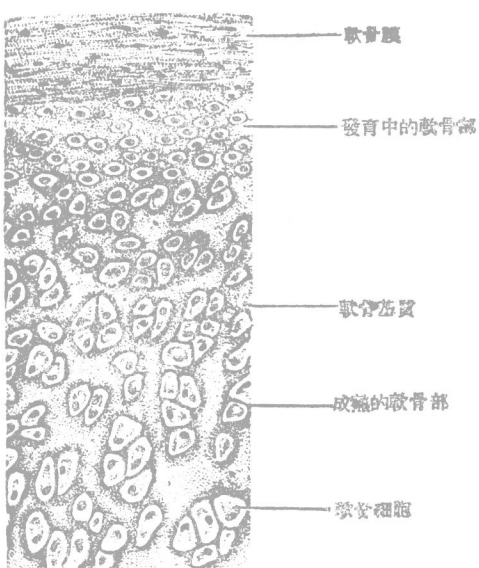


图 2—20 透明软骨(低倍镜观)

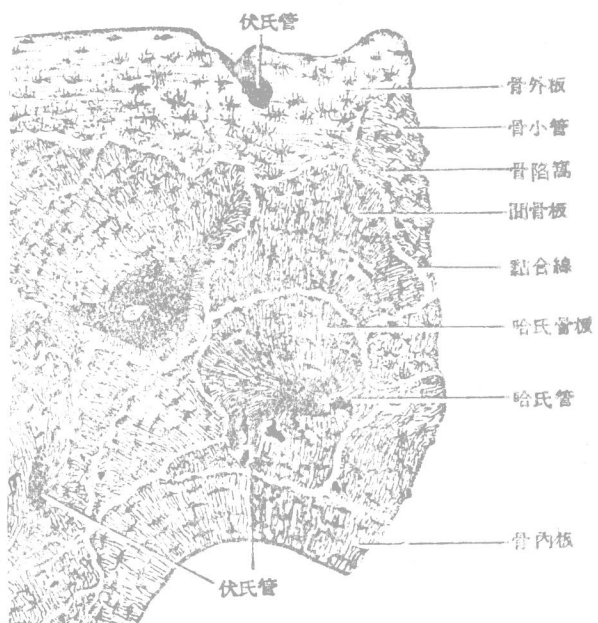


图 2—21 硬骨组织(骨磨片)

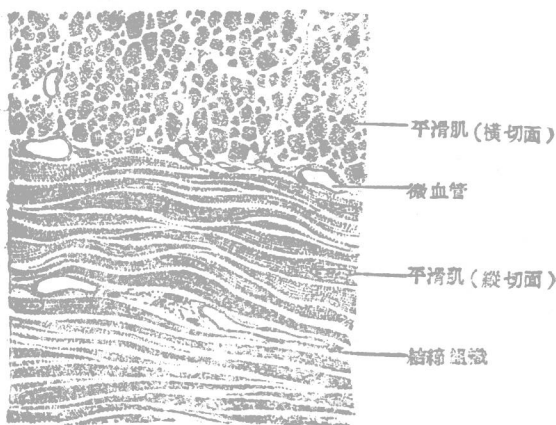


图 2—22 平滑肌

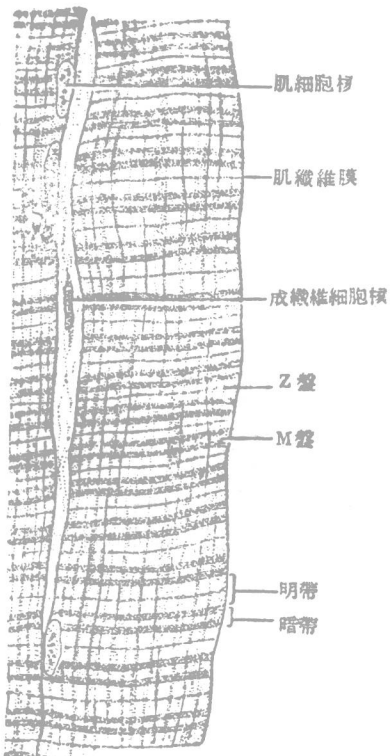


图 2—23 骨骼肌

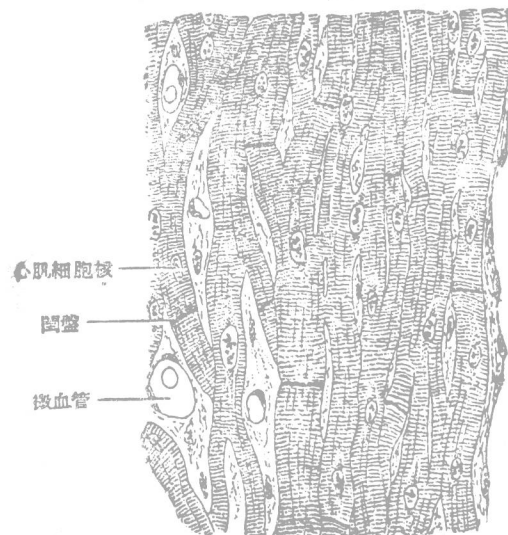


图 2—25 心肌

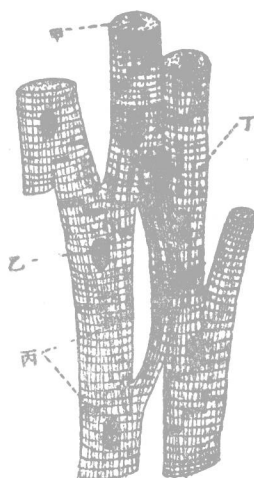


图 2—26 心肌纤维的立体观

甲, 横断面 (可见肌原纤维的断面)
乙, 核 (位于中央)
丙, 闰盘
丁, 横纹

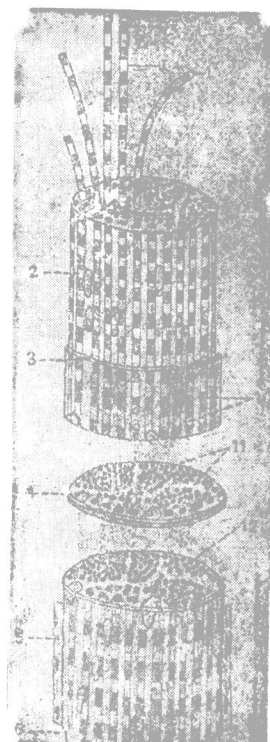


图 2—24 骨骼肌纤维立体观

1. 肌原纤维
10. 明暗相间的横纹
12. 肌原纤维的横断